

Occurrence of Cobalt Mineralization in Tidar area - Eqlid

Ghetmiri, H.

Azad University - Shiraz

Shahabpour, j.

Shahid Bahonar University, Kerman

Key Words: Cobalt Mineralization, Surface adsorbtion of Cobalt, Sanandaj - Sirjan Zone, Eqlid

Abstract: The Tidar cobalt deposit is located 18 km northwest of the town of Eqlid, in the Sanandaj - Sirjan zone. Cobalt mineralization occurs in a few horizons concordant with, and within the sedimentary detrital sequences of limestone, sandstone and marl of upper jurassic (Malm) age.

The main minerals are magnetite and changing gradually to hematite and then to limonite and goethite. Co, Ni, Mn, Ti, As, bearing minerals also occur. These minerals represents an oxidized environment, but whether cobalt bearing phases, are part of the oxidized zone or belong to an independent source underneath, is the subject of this study.

Association of cobalt with iron, manganese and clay minerals (scavenger components) strongly support the hypothesis of adsorbtion. The absence of ultramafic outcrops, the stratiform nature of mineralized horizons, the low Pb and Zn contents, the absence of indicator minerals of reduced facies, reject the known models of cobalt mineralization (skarn, lateritic, hydrothermal, magmatic and stratiform) for Tidar deposit.

The weathered mafic or ultramafic pluton is probably the primary source of cobalt; The free Cobalt released from this pluton is transported to the upper Jurassic sedimentary basin, or had been moved as a cobalt bearing phase to the deposition site, where it was weathered and Co was releases. And finally, the free Cobalt ions either were adsorbed on certain mineral grains, or were deposited as amorphous compounds filling the available open spaces.

پژوهشی

رویداد کانی‌سازی کبالت در ناحیه تیدر اقلید

سید حسین قطمیری

دانشگاه آزاد اسلامی واحد شیراز، گروه زمین‌شناسی

جمشید شهاب پور

دانشگاه شهید باهنر کرمان، گروه زمین‌شناسی

چکیده: کانسار تیدر در ۱۸ کیلومتری شمال غرب اقلید واقع است. کانه زائی در تعدادی افق معدنی همشیب و همرونده با واحدهای رسوبی منطقه شامل توالیهای آواری آهکی، ماسه سنگی و شیلی ژوراسیک بالایی (مالم) حادث شده است. ترکیبات اکسیدی آهندار در اثر هوازدگی از مگنتیت به هماتیت و سپس به لیمونیت و گوتیت تغییر پیدا کرده‌اند. همراه با این کانیها می‌توان از فازهای حاوی کبالت، نیکل، منگنز، تیتانیوم، ارسنیک و... نام برد. وجود کبالت در درزهای نیز به صورت پراکنده و گاه نقطه‌ای در زمینه‌ای از اکسیدهای ثانویه آهن و نیز بر روی کانیهای رسی، دلالت بر تهنشینی کبالت از محلولهای حاصل از دیاژن و نیز محلولهای بروونزاد و سطحی دارد. در ضمن شواهدی از قبیل عدم وجود توده نفوذی، نبود رخنمون توده‌های فرابازی، تشکیل افقهای کانه زائی همشیب با لایه بندی، مقادیر پائین سرب و روی، عدم حضور کانیهای معرف رخساره احیایی، و... کانی‌سازی کبالت نوع اسکارنی، لاتریتی، گرمابی، ماگمایی، و رسوبی چینه سان را در ناحیه معدنی تیدر مردود می‌شناشد. بر اساس اطلاعات موجود می‌توان افیولیتهای موجود را به عنوان منبع اولیه کبالت معرفی کرد. کبالت یا به صورت یون آزاد و ذرات کلوئیدی به حوضه رسوب گذاری ژوراسیک بالایی در ناحیه تیدر حمل شده است و یا آنکه از هوازدگی کانیهای حاوی کبالت موجود در حوضه رسوبی ناشی شده است. در نهایت یونهای آزاد شده کبالت یا بر روی اکسیدهای آهن و کانیهای رسی جذب شده است و یا اینکه صرفاً در پی تغییرات محیطی، در فضاهای خالی موجود در زمینه ته نشین شده است.

واژه‌های کلیدی: کانی‌سازی کبالت؛ جذب سطحی؛ کمریند سنندج - سیرجان؛ اقلید

مقدمه

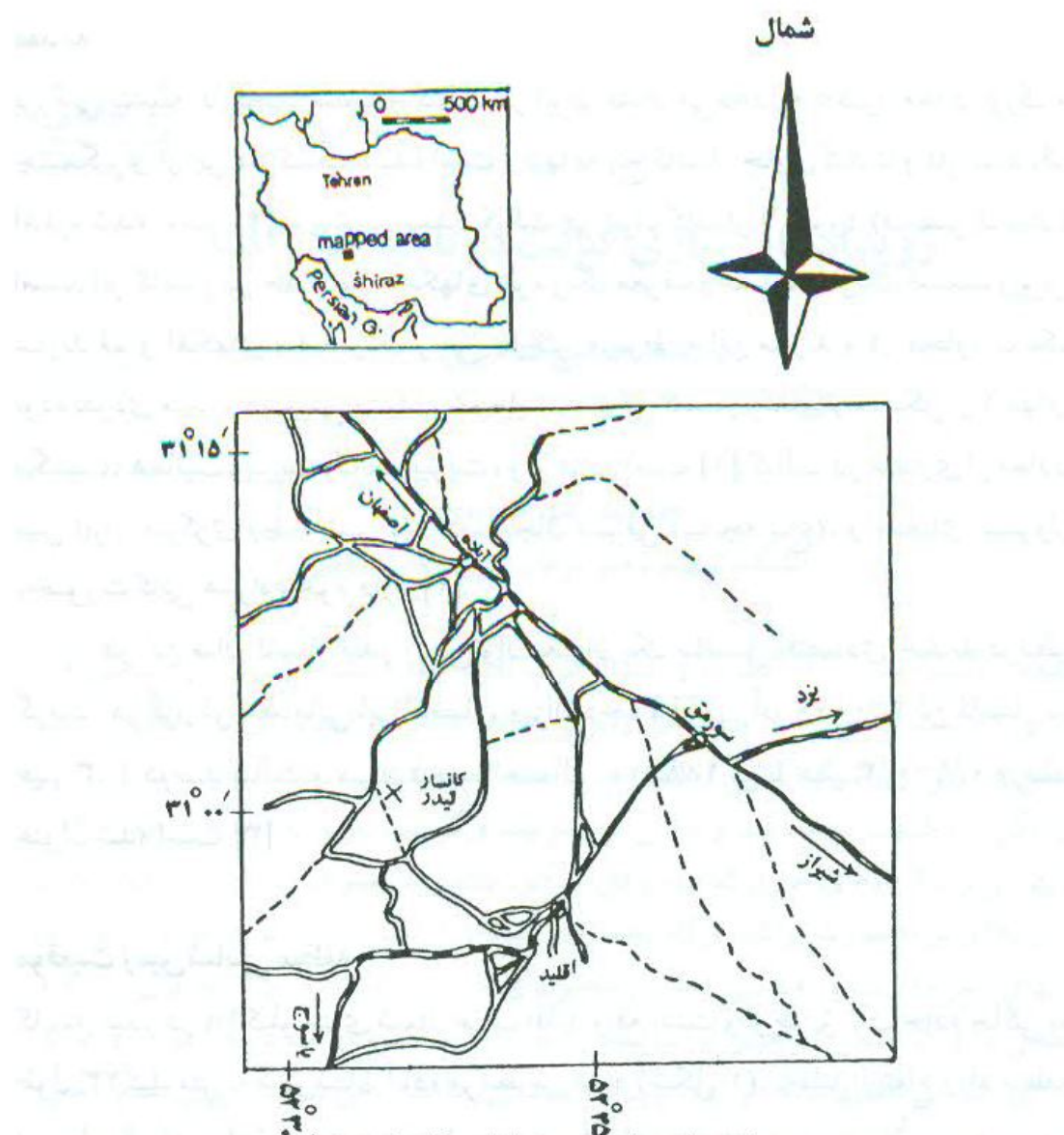
بررسی پیشینه تاریخی استخراج کبالت در ایران نشان می‌دهد که تاکنون معدن بزرگ و چشمگیری از این فلز کشف نشده است و تنها به پنج کانسار حاوی کبالت و فلرات دیگر اشاره شده است [۴]. بارزترین معدن کبالت در ایران کانسار لاجورد (قمصر کاشان) است. این کانسار در حد فاصل آهکهای تیره رنگ معرف رخساره پلاژیک قسمت زیرین سازند قم و آهکهای سفید رنگ ریفى جوانتر مربوط به این سازند و در مجاورت یک توده نفوذی میکرو دیوریتی تشکیل شده است. شکل کانسار رگه‌ای و متخلک از کانیهای مغنتیت، هماتیت، پیریت، کالکو پیریت، و اریترین است [۱]. کبالت در شماری از معادن مس ایران مرکزی (چاه شوره)، آذربایجان شرقی (بایچه باع)، و جغتای سبزوار به صورت کانی همراه وجود دارد [۴].

در این میان کانسار تیدر را می‌توان بعنوان یک پتانسیل اقتصادی جدید در نظر گرفت. در گزارش مقدماتی این کانسار، میزان ذخیره قطعی آن ۲۵۰۰۰۰ تن کانسار با عیار ۳-۱ درصد کبالت و میزان ذخیره احتمالی ۲۸۸۴۰۰ تن با عیار ۳/۰-۱۰ درصد عنوان شده است [۳].

موقعیت زمین‌شناسی منطقه

کانسار تیدر در ۱۸ کیلو متری شمال غرب اقلید واقع است و از طریق یک جاده خاکی به طول ۲۳ کیلومتر به شهرستان آباده مرتبط می‌شود (شکل ۱). به دلیل ارتفاع زیاد منطقه از سطح دریا، شرایط جوی در فصول سرد بسیار نامساعد است و معمولاً با بارش برف همراه است. این منطقه از لحاظ تقسیمات زمین‌شناسی ایران، جزئی از کمربند سنندج - سیرجان محسوب می‌شود. این کمربند به وسیله منطقه باریکی با پهنای حداقل چند کیلومتر از گسلهای رورانده زاگرس در جنوب جدا می‌شود [۵] و در شمال در اثر فروافتادگیهای سیرجان - گاوخونی، کویر توز لواز کمربند آتشفسانی ارومیه - دختر جدا می‌شود. [۲]

مناطق مجاور اقلید از جمله ارتفاعات شمال غربی این شهرستان که کانسار تیدر در دامنه آن واقع است، در منطقه‌ای بشدت گسلیده قرار می‌گیرد. به عقیده تراز [۶] این ناحیه به وسیله گسل اصلی آباده از منطقه پوشش تختگاهی در شمال و در امتداد



شکل ۱ موقعیت جغرافیایی کانسار تیدر.

رواندگی زاگرس، از ناحیه خرد شده حوضه زاگرس در جنوب جدا می شود. مجموعه‌ای از ساختارهای هورست و گрабنی، زمین‌شناسی منطقه را به صورت پیچیده‌ای درآورده است؛ به نحوی که به دنبال حرکات اواخر تریاس، منطقه فرونشه کرده است که در زمان ژوراسیک نیز تداوم یافته است و سپس در اواخر ژوراسیک یک فاز تکتونیکی باعث بالا آمدن ناحیه شده است و به دنبال آن در زمان نئوکومین (کرتاسه زیرین) یک دورهٔ فرسایشی شروع شده است. از نظر چینه‌شناسی، محدوده‌ای که کانه زائی در آن رخ داده است، بخشی از رخساره سنگی ژوراسیک محسوب می شود که

جدول ۱: توالی چینه‌شناسی عمومی منطقه اقلید و نواحی هم‌جوار [۹]

ضخامت (متر)	لیتلوژی	سیستم اشکوب
-۵۰	مخروط‌افکنده شنی و ابرفتی	کراترنری
۶۰	کنگلومرا	
+۱۰۰	ماسه، گل، فورش، گلسنگ	
+۱۳۰	سنگ آهک ریفی، مارن، کنگلومرا در قاعده	تئوزن
+۵۹۰	سنگ آهک، مارن سفید، کنگلومرا	
+۲۱۰	سنگ آهک	آلین - آپتین
۱۴۵۰ تا ۱۲۰۰	مارن، سنگ آهک اوولیتی و ماسه سنگ قهوه‌ای -	
	-	ژوراسیک
	ماسه سنگ خاکستری و شیل	

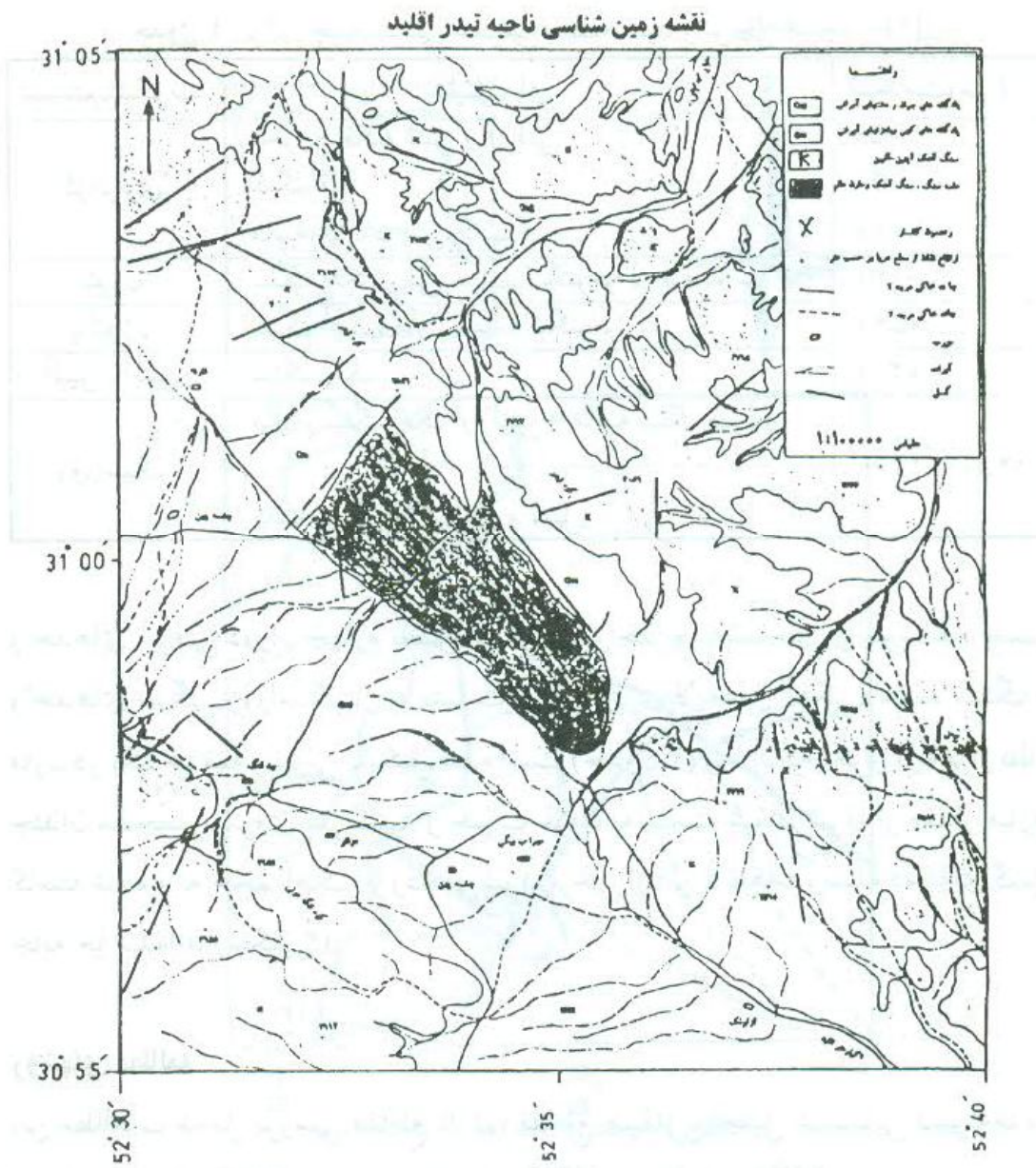
واحدهای آبرفتی دوران چهارم بخش عمدۀ این واحد چینه‌شناختی را پوشانده است. واحدهای سنگی ژوراسیک از ته نشست توالی آواری لایه‌های آهکی، ماسه سنگ و مارن در یک حوضه رسوبی تشکیل شده است (جدول ۱) و با آن که تکرار لایه‌ها از نظام چندان مشخصی پیروی نمی‌کند، از جنوب غرب به سمت شمال شرق از مقدار مارن کاسته شده و به حجم آهک افزوده می‌شود. برخی از این لایه‌هابه وسیله دسته‌ای گسل جابه‌جا شده‌اند (شکل ۲).

روشهای مطالعه

این مطالعات شامل بررسی مقاطع نازک، مقاطع صیقلی، تحلیل شیمیایی نمونه‌ها با استفاده از روش XRF، شناسایی کانیها با XRD و مطالعات SEM است.

مطالعات کانی‌شناسی

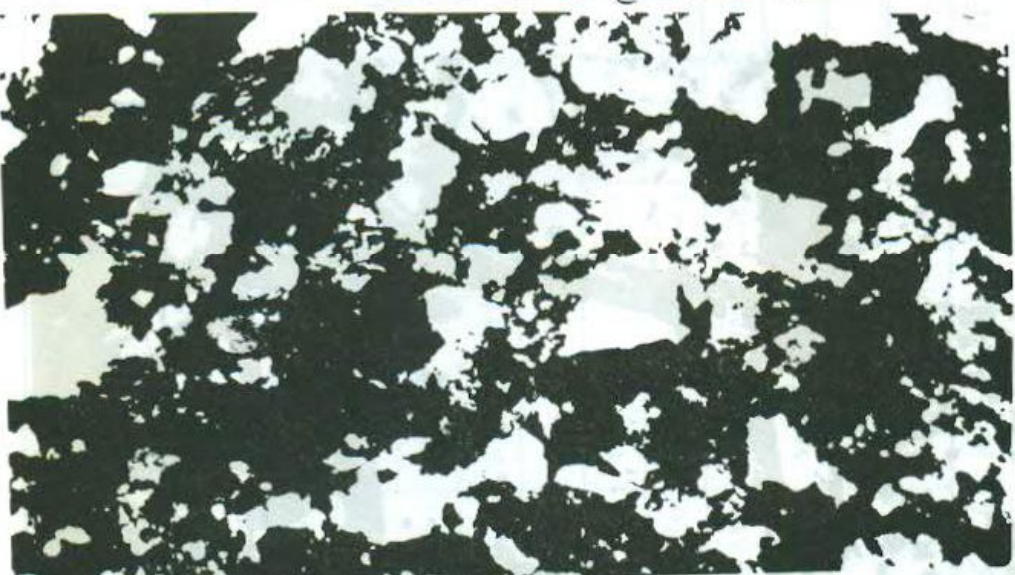
مطالعات مقاطع نازک نشان می‌دهد که در زمینه‌دانه‌ریز مارن، دانه‌ها با اکسیدهای ثانوی آهن آغشته شده‌اند (شکل ۳). همچنین در مقاطع ماسه سنگ بلورهای نیمه زاویه‌دار تا نیمه گرد شده کوارتز در یک زمینه فاقد رس که میان وجود محیطی متلاطم در زمان رسوب گذاری است، مشاهده می‌شود (شکل ۴). حضور قابل توجه کانیهای اکسیدی آهن در این مقاطع نیز قابل ذکر است. مقاطع سنگ آهک حاوی ترکیب اسپارایتی در



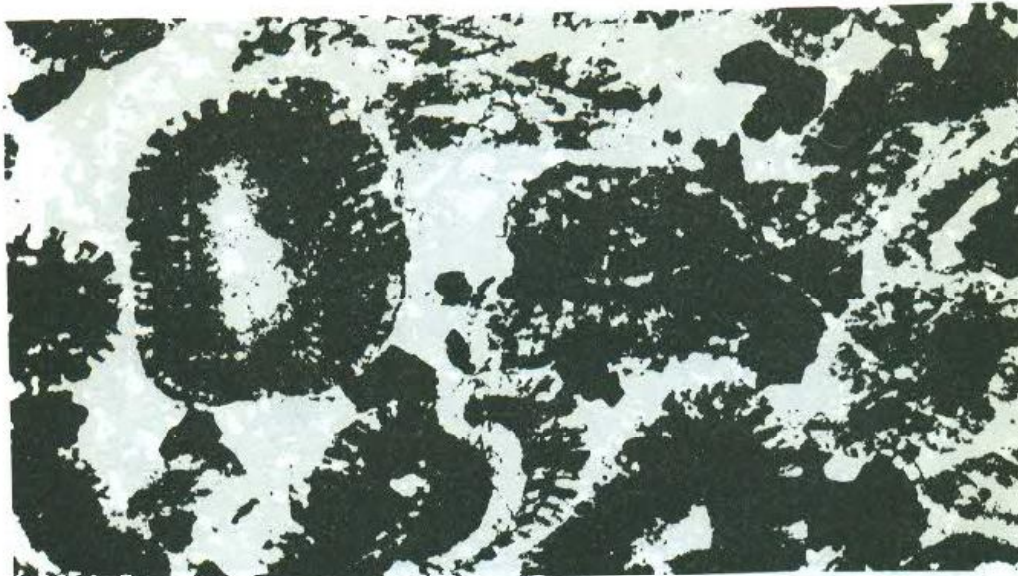
شكل ۲ نقشه زمین‌شناسی ناحیه تیدر.

زمینه و کانیهای اکسیدی آهن و تعداد قابل توجهی از آلیت‌هاست که حضور آنها بیانگر محیط رسوبگذاری آشفته و کم عمق است [۱] (شکل ۵).

مطالعه مقاطع صیقلی کانسنگهای این منطقه نشان می‌دهد که عمده‌ترین فاز کانیایی موجود، کانیهای اکسیدی آهن است. که شامل مگنتیت (شکل ۶)، هماتیت، گوتیت و نیز سیدریت است. در این میان فاز اکسیدی غالب به ویژه در افقهای سطحی،

شکل ۳ نمای مقطع نازک مارن زردرنگ (PPL \times 40).شکل ۴ نمای مقطع نازک ماسه‌سنگ آواری (XPL \times 40).

کانسار هماتیت است و رنگ قرمز مارنها را باید ناشی از حضور گستردۀ این کانی دانست. بافت جعبه‌ای (Boxwork) این کانی دلیل خوبی بر ثانوی بودن آنست. سایر فازهای کانیایی عبارتند از: ایلمنیت، روتیل، کانیهای منگنزدار، سیلیس و کانیهای رسی. به منظور شناسایی دیگر فازهای کانیانی موجود، از روش XRD نیز استفاده شده است. کانیهای نیکلین، ژرسدورفیت، کلودتیت، یوکونیت، کولفانیت و ارسنوسیدریت از آن جمله‌اند.



شکل ۵ نمای مقطع نازک سنگ آهک حاوی الیت (PPL \times 40).



شکل ۶ کانی مگنتیت که شکستگی های آن توسط سیلیس پر شده است (PPL \times 40).

تجزیه شیمیایی نمونه ها

نتایج تجزیه شیمیایی ۱۴ نمونه از سنگهای میزبان و نیز کانسنگهای مورد مطالعه در (جدول ۲) آمده اند. مقادیر بالای اکسیدهای آهن و نیز کبالت، همراه با مقادیر ناچیز عناصر سرب و روی از نکات قابل توجه اند.

جدول ۲ نتایج تجزیه شیمیایی سنگها و کانسنگهای منطقه تیدر (در صد).

نوع	Na ₂ O	K ₂ O	CaO	Al ₂ O ₃	Fe ₂ O ₃	MgO	MnO	TiO ₂	Pb	Zn	Co	Ni	Cu	Cr
T _r	.1/14	1/14	1/1/11	1/1/11	1/1/11	1/1/11	1/1/11	1/1/11	-	1/1/11	-	-	1/1/11	1/1/11
E _d	.1/11	1/11	1/1/11	1/1/11	1/1/11	1/1/11	1/1/11	1/1/11	-	1/1/11	-	-	1/1/11	1/1/11
H _r	.1/11	1/11	1/1/11	1/1/11	1/1/11	1/1/11	1/1/11	1/1/11	1/1/11	1/1/11	1/1/11	1/1/11	1/1/11	1/1/11
H ₁	.1/11	1/11	1/1/11	1/1/11	1/1/11	1/1/11	1/1/11	1/1/11	-	1/1/11	1/1/11	1/1/11	1/1/11	1/1/11
O _d	.1/14	1/14	1/1/11	1/1/11	1/1/11	1/1/11	1/1/11	1/1/11	1/1/11	1/1/11	1/1/11	1/1/11	1/1/11	1/1/11
L _r	.1/11	1/11	1/1/11	1/1/11	1/1/11	1/1/11	1/1/11	1/1/11	-	1/1/11	-	-	1/1/11	1/1/11
O _d	.1/11	1/11	1/1/11	1/1/11	1/1/11	1/1/11	1/1/11	1/1/11	-	1/1/11	1/1/11	1/1/11	1/1/11	1/1/11
O _r	.1/10	1/10	1/1/11	1/1/11	1/1/11	1/1/11	1/1/11	1/1/11	-	1/1/11	1/1/11	1/1/11	1/1/11	1/1/11
L _s	.1/11	1/11	1/1/11	1/1/11	1/1/11	1/1/11	1/1/11	1/1/11	1/1/11	-	1/1/11	1/1/11	1/1/11	1/1/11
L _r	.1/14	1/14	1/1/11	1/1/11	1/1/11	1/1/11	1/1/11	1/1/11	1/1/11	1/1/11	1/1/11	1/1/11	1/1/11	1/1/11
L _d	.1/11	1/11	1/1/11	1/1/11	1/1/11	1/1/11	1/1/11	1/1/11	1/1/11	1/1/11	1/1/11	1/1/11	1/1/11	1/1/11
E _r	.1/12	1/12	1/1/11	1/1/11	1/1/11	1/1/11	1/1/11	1/1/11	-	1/1/11	-	-	1/1/11	1/1/11
E _g	.1/11	1/11	1/1/11	1/1/11	1/1/11	1/1/11	1/1/11	1/1/11	-	1/1/11	-	-	1/1/11	1/1/11
T _d	.1/11	1/11	1/1/11	1/1/11	1/1/11	1/1/11	1/1/11	1/1/11	-	1/1/11	-	-	1/1/11	1/1/11

مطالعات SEM

این مطالعات حضور ترکیباتی از عناصر نادر خاکی شامل عناصر گروه سریوم، لاتانیوم و نیز ایتریوم را در نمونه‌ها نشان می‌دهد.

در مقاطع صیقلی، تشخیص کانیهای کبالت میسر نشد؛ اما به کمک میکروسکوپ الکترونی بخشایی از مقاطع صیقلی که از لحاظ کانه‌زائی کبالت غنی بود، تعیین شد. کانیهای حامل کبالت یا به صورت توده‌های بیشکل ظاهر شده‌اند و یا این که درزه‌های موجود در کانیهای ثانوی آهن را پر کرده‌اند (شکل ۷).

در حالت اول، کانی حامل کبالت با پر کردن درزه‌های موجود در کانیهای ثانوی آهن، عملأً به صورت یک فاز ثانویه ظاهر شده است. وجود درزه‌های پر شده با فاز حامل کبالت ییانگر این نکته است که ته نشینی کبالت پس از کانیهای آهن ثانوی صورت گرفته است. تجزیه نقطه‌ای کانی حامل کبالت با SEM، ترکیبات متفاوتی را نشان می‌دهد. این ترکیبات عمداً حاوی آهن و منگنز، اکسیدها و هیدروکسیدهای ثانوی آهن و آلومینوسیلیکاتها (احتمالاً کانیهای رسی) است (شکل ۸).

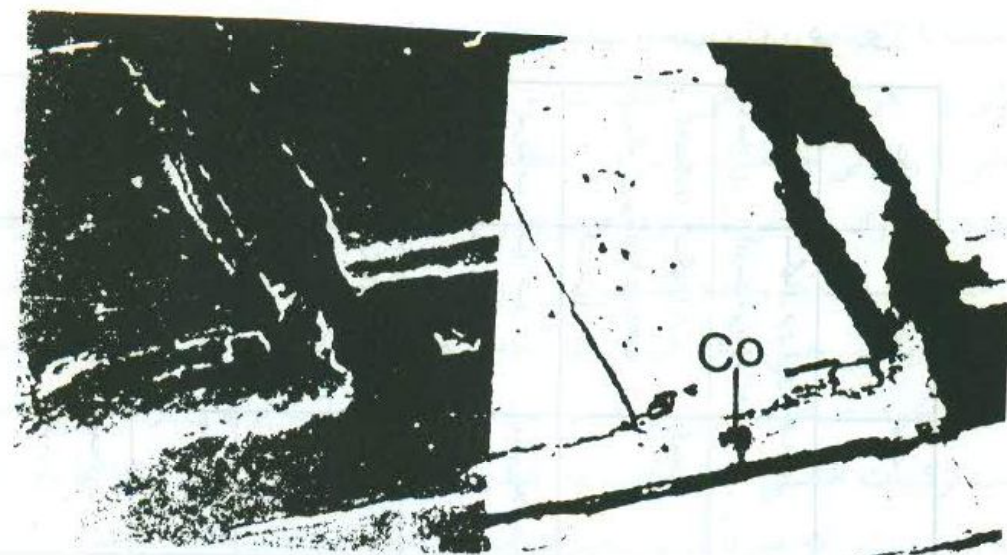
یکی از راههایی که می‌تواند باعث تمرکز عناصری مانند کبالت شود پدیده جذب است که به صورتهای زیر امکان‌پذیر است [۶]:

- ۱ - ته نشینی همزمان؛ ۲ - جذب سطحی؛ ۳ - تشکیل کمپلکس سطحی؛
- ۴ - تبادل یونی؛ ۵ - نفوذ در شبکه بلوری.

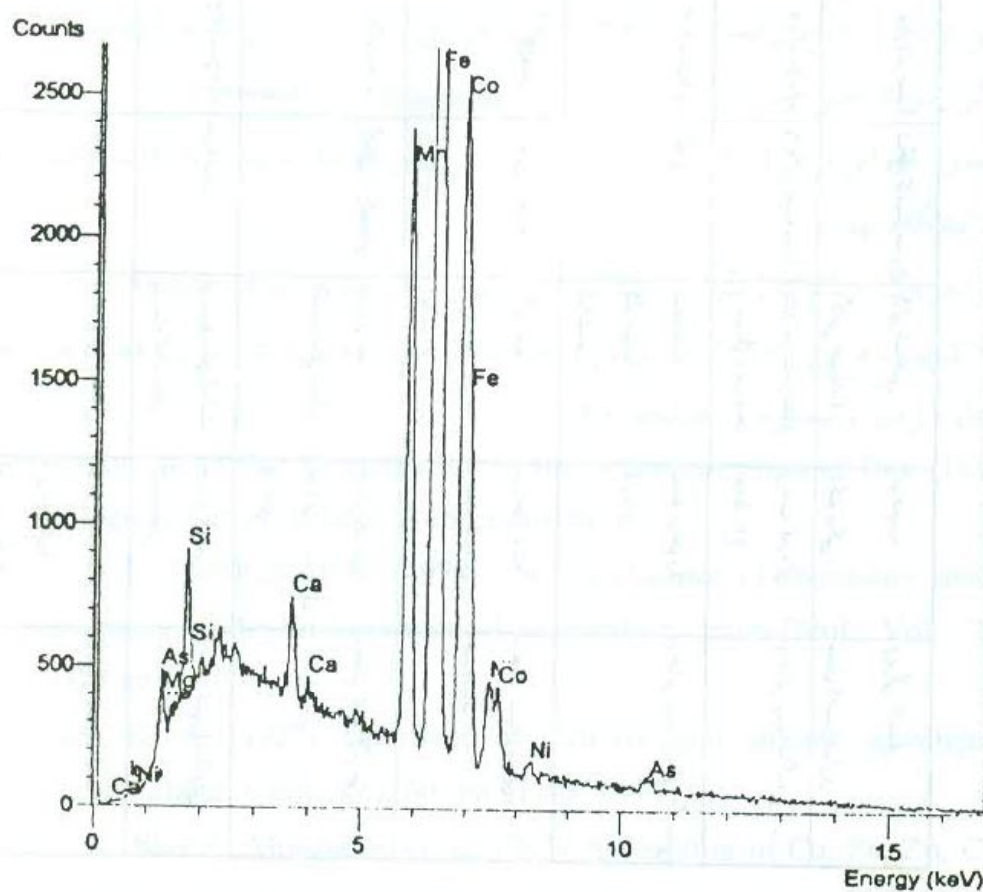
ترکیبات جذب کننده (Scavenger) اجزای بی‌شکل یا کمی متبلور هستند که به دلیل ریز بودن ابعاد آنها، دارای سطوح ویژه بزرگ و درجه بالایی از نقص ساختاری هستند و این ویژگی آنها را در جذب کاتیونها و آنیونها و حتی ملکولهای آب برای رسیدن به بار متعادل کمک می‌کند [۷]. از مهمترین جذب کننده‌های کبالت می‌توان به اکسیدهای آهن، منگنز و کانیهای رسی اشاره کرد [۸].

بحث و برداشت

عدم وجود شرایط و مشخصه‌های کانسارهای شناخته شده کبالت در منطقه تیدر احتمال وقوع نوع متفاوتی از کانسار سازی کبالت را مطرح می‌سازد (جدول ۳). شواهدی از قبیل عدم وجود توده‌های آذرین، نبود رختمنون توده‌های فرابازی، تشکیل افقهای کانه زایی



شکل ۷ تصاویر الکترون ثانویه (چپ) و الکترون برگشتی (راست)
از فاز کبالت دار در یک زمینه آهن دار



شکل ۸ آنالیز نقطه‌ای فاز کبالت دار شکل ۷.

جدول ۳ مهمترین مدل‌های کانسارسازی کیالت و خصوصیات هر یک.

نام	سکه میزان	باقت	دیجیهه (بن)	بار (ارصد)	نیکل کانسارسازی کانی شناسی (کانی میزان)	مو قعیت	ویزگی کانسار
بسودل	سکهای نوچ بازی (دونب-پریدونب)	انسانی	جهندهه میلیون	۷۰/۰-۵۰/۰	لایهای جینه‌سان و سولفورسیدهای بنلاندیت-ارسبید	نیکونیکی ذخایر نسب مانگما	مدل کانسارسازی
سادبری	سکهای بازی (بازار-بازار)	گچهای	جهندهه میلیون	۴۰/۰-۲۰/۰	رگهای اسماقی کلربیت	ریخت فراغی فراهای	ذخایر نسب رگهای گرمایی
کیالت کانالدا	سکهای بازی (آندزنسی)	رجهای	جهندهه میلیون	۴/۰	لایهای - جینه‌سان کارولت	کارولت - پریت	ذخایر نسب رسوبی
آندزنسی	آندزنسی	شیل-شیل	بوزفروبلاست	جهندهه میلیون	کارولت - پریت کیالت دار	کیالت دار	ذخایر نسب فراهای
زمبیا	زمبیا	دولومیتی	بوزفروبلاست	جهندهه میلیون	رگهای - رجهای اسکبدهای منگنز	رسفت	ذخایر نسب لارنی
زمبیا	زمبیا	حصهای	جهندهه میلیون	۷/۰-۱/۰	رسفت - پریت	جزایر فرسی بیرونی - سیرهای	ذخایر نسب اسکارنی
نمیا	نمیا	حصهای	جهندهه میلیون	۵/۰-۲/۰	اورسینهای کیالت پریت کیالت دار	جزایر فرسی آتشنشانی	ذخایر نسب اسکارنی
آمریکا	آمریکا	حاشیه	جهندهه میلیون	۱-۳	فائد کانی مستغل	فوس آتشنشانی (تریشیاری) (مزودنیک)	کانسار بذر - اقلید
-	-	جمعهای -	۲۵۰۰۰۰	لامای	فوس آتشنشانی	کلوفرمی	مارن - سگ آهک

همشیب با لایه‌بندی، مقادیر پایین سرب و روی، عدم حضور کانی‌های معرف رخساره احیائی و... هر یک به نوعی امکان تشکیل کانسارهای ماگمایی، اسکارنی، لاتریتی، گرمابی و رسوبی چینه‌سان را در این منطقه به زیر سؤال می‌برد. براساس اطلاعات موجود، می‌توان یک توده هوازده فرابازی را به عنوان منبع اولیه کبالت معرفی کرد. در این میان، کبالت یا به صورت یون آزاد و ذرات کلوئیدی به حوضه رسوبگذاری ژوراسیک بالایی حمل شده است و یا آنکه از هوازدگی کانی حاوی کبالت در ساختار شبکه‌ای خود، در حوضه رسوبی ناشی شده است. در نهایت یونهای آزاد شده کبالت یا جذب ترکیبات خاصی مانند اکسیدها، هیدروکسیدهای ثانوی آهن، و کانی‌های رسی شده اند و یا این که صرفاً در پی تغییرات محیطی، در فضاهای خالی موجود در زمینه ته‌نشین شده‌اند.

مراجع

- تقی زاده، ن.م.ح. رضوی، (۱۳۶۱). گزارش بازدید از کانسار کبالت قمصر کاشان، گزارش داخلی سازمان زمین‌شناسی کشور، تهران، ۱۴ صفحه.
- حسرو تهرانی، خ. (۱۳۶۷). چینه‌شناسی ایران و مقاطع تیپ تشکیلات، انتشارات دانشگاه تهران.
- کیوانفر، ک. (۱۳۷۴). گزارش مقدماتی کانسار تیدر اقلید (منشر نشده).
- ملاک‌پور، م.ع. (۱۳۷۰). گسترش و خاستگاه مواد معدنی در ایران، فصلنامه علمی علوم زمین، شماره ۱، صفحه ۶۱.
- Berberian, M. (1976) Contribution to the Seismotectonics of Iran (Part II), Geological survey of Iran, Report No 39.
- Chao, T.T, Theobald, P.K. (1976) The significance of secondary iron and manganese oxides in geochemical exploration. Econ.Geol., Vol. 71, pp. 1560-1569.
- Kuhnel, R. A. (1987) The Role of Cationic and anionic scavengers in laterites. chem. Geol. Vol. 60. pp.31-40. 1987.
- Rose, A., Bianchi-Mosquera, G. C.(1993) Adsorption of Cu, Pb, Zn, Co, Ni and Ag on goethite and hematite: A control on metal mobilization from red beds into stratiform copper deposits. Econ. Geol., Vol. 88,

- pp.1226-1236.
9. Taraz, H.(1974) Geology of the Surmaq-Deh Bid area, Abadeh Region, Central Iran, G.S.I, Report No. 37.
 10. Tillman, J. E., Poosti, A. Rossello, S. Eckert, A. (1981) Structural evolution of the Sanandaj-Sirjan ranges near Esfahan A. A. P. G, Bulletin, Vol. 65.
 11. Tucker, M. E. (1991) Sedimentary petrology, Blackwell, Berlin, Scientific publications, 260p.